

Национальный исследовательский институт  
«Высшая школа экономики»



Оптика

Отчёт о выполнении практической работы  
«Дифракция Фраунгофера»

Выполнил:  
Илюшкин Егор, БФ3224

## Оглавление

1. Дифракция.....	3
1.1. Явление дифракции .....	3
1.2. Принцип Гюйгенса-Френеля .....	4
1.3. Приближенные формулировки принципа Гюйгенса-Френеля.....	5
1.4. Одномерный случай дифракции Фраунгофера.....	7
2. Дифракция Фраунгофера на щели.....	9
2.1. Расчёт дифракционной картины.....	9
2.2. Наблюдение дифракции света зелёного лазера на щели .....	10
2.3. Определение ширины щели $b$ .....	12
3. Дифракция Фраунгофера на двух щелях .....	15
3.1. Расчёт дифракционной картины.....	15
3.2. Наблюдение дифракции света красного лазера на двух щелях .....	16
3.3. Определение параметров двухщелевого экрана $d$ и $b$ .....	17

# 1. Дифракция

## 1.1. Явление дифракции

*Дифракция волн* – явление огибания волнами препятствий, в широком смысле любое *отклонение от законов геометрической оптики* при распространении волн. Она представляет собой универсальное волновое явление и характеризуется одними и теми же законами при наблюдении волновых полей разной природы. Частный случай дифракции – огибание волной препятствия и её проникновение в область *геометрической тени*.

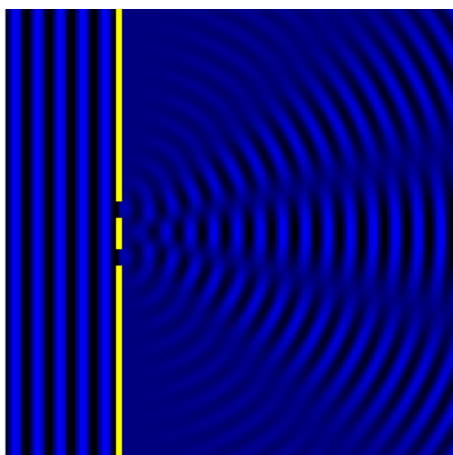


Рисунок 1. Колебания поля в пространстве при дифракции на двух щелях

Основными параметрами, существенно определяющими характер дифракционных явлений, являются *длина волны  $\lambda$* , *размер отверстия  $b$*  и *расстояние до плоскости наблюдения  $z$* . Характер дифракционных явлений определяется значением *волнового параметра  $p$* .

$$p = \frac{\sqrt{\lambda z}}{b}$$

Область значений волнового параметра  $p \ll 1$  является областью применимости приближения *геометрической оптики*. Область значений  $p \gg 1$  называется областью *дифракции Фраунгофера* (или *дальней волновой зоной*). Промежуточная область  $p \sim 1$  – областью *дифракции Френеля* (или *ближней волновой зоной*).

## 1.2. Принцип Гюйгенса-Френеля

Рассмотрим задачу об электромагнитной волне, падающей на *непрозрачный экран с отверстием*. Определим оси  $x, y$ , лежащие в *плоскости наблюдения*,  $\xi, \eta$ , лежащие в плоскости экрана и ось  $z$ , расположенную перпендикулярно, другим осям.

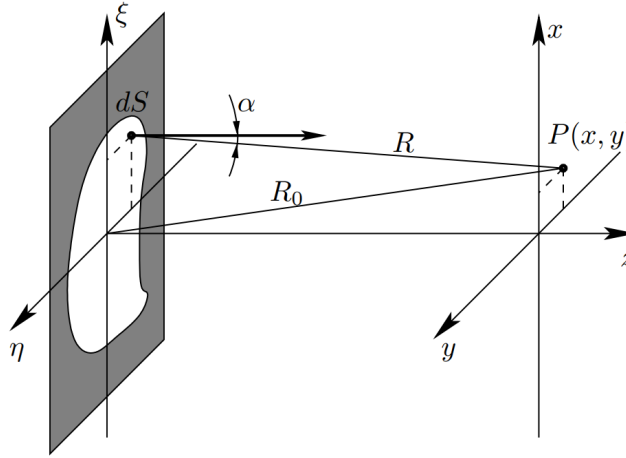


Рисунок 2. Геометрия задачи расчёта дифракционной картины в точке  $P$

Определим *граничные условия* следующим образом: в той части плоскости  $z = +0$ , которая затенена экраном, граничное поле полагается равным нулю. На открытой части волнового фронта (т. е. в области отверстия) граничное поле полагается равным полю сторонних источников  $E_s(\xi, \eta)$ <sup>1</sup>. Итак, граничное поле определяется следующим равенством:

$$E_0(\xi, \eta) = \begin{cases} E_s(\xi, \eta): & \text{в точках, принадлежащих отверстию;} \\ 0 & \text{в точках, затенённых экраном.} \end{cases}$$

Согласно *принципу Гюйгенса-Френеля*, каждая точка волнового фронта является *вторичным источником* сферических волн. Пусть волна света, пришедшая из области  $z < 0$ , достигла плоскости  $z = 0$ . Световое поле при  $z = 0$  равно:  $E_0(\xi, \eta)$ . В области  $z > 0$  световое колебание рассматривается как результат *интерференции* вторичных волн.

<sup>1</sup> Здесь и далее  $E(\mathbf{r}) \in \mathbb{C}$  – пространственная норма комплексной амплитуды  $\mathbf{E}(\mathbf{r}) \in \mathbb{C}^3$  стационарного волнового поля  $\mathbf{E}(\mathbf{r}, t) = \mathbf{E}(\mathbf{r})e^{-i\omega t}$ . Временной множитель  $e^{-i\omega t}$  не играет большой роли при рассмотрении явления интерференции волн и может быть опущен для удобства.

Рассмотрим элементарную площадку  $ds(\xi, \eta)$ , лежащую в плоскости  $\xi\eta$ . Подобно точечному источнику, она излучает колеблющееся поле  $E_0(\xi, \eta)$ . При вычислении вклада, который даёт это колебание в точке наблюдения  $P$ , нужно учесть ослабление амплитуды  $1/R$ , набег фазы  $e^{ikR}$  и видимый размер площадки  $ds(\xi, \eta)$  из точки наблюдения  $ds \cdot \cos \alpha$ .

$$E(x, y) = K_0 \iint E_0(\xi, \eta) \frac{e^{ikR}}{R} \cos \alpha \, d\xi d\eta$$

Можно показать, что нормировочный коэффициент пропорциональности  $K_0$  равен  $1/i\lambda$ . Таким образом, количественная формулировка принципа Гюйгенса-Френеля принимает вид:

$$E(x, y) = \frac{1}{i\lambda} \iint E_0(\xi, \eta) \frac{e^{ikR}}{R} \cos \alpha \, d\xi d\eta.$$

### 1.3. Приближенные формулировки принципа Гюйгенса-Френеля

При условии, что размер отверстия мал по сравнению с расстоянием  $R_0$  до точки наблюдения, амплитудный множитель  $1/R$ , учитывающий уменьшение амплитуды в сферической волне по мере удаления от вторичного источника  $ds$ , можно заменить постоянной величиной  $1/R_0$ , а  $\cos \alpha$  считать приближенно равным единице, в этом приближении:

$$E(x, y) \approx \frac{1}{i\lambda R_0} \iint E_0(\xi, \eta) e^{ikR} \, d\xi d\eta.$$

Точное выражение для расстояния  $R = R(x, y, z, \xi, \eta)$  от вторичного источника  $ds(\xi, \eta)$  до точки наблюдения  $P(x, y, z)$  (см. [рис. 2](#)) равно:

$$R = \sqrt{z^2 + (x - \xi)^2 + (y - \eta)^2} = z \sqrt{1 + \frac{(x - \xi)^2}{z^2} + \frac{(y - \eta)^2}{z^2}}.$$

Вычисляя величину  $R$ , входящую в фазовый множитель  $e^{ikR}$ , мы не можем довольствоваться грубой оценкой  $R \approx R_0 = \sqrt{x^2 + y^2 + z^2}$ , поскольку ошибка при вычислении фазы колебаний  $kR$  должна быть мала по сравнению с  $\pi$  и, следовательно, ошибка в вычислении  $R$  должна быть мала

по сравнению с  $\lambda/2$ . Точное выражение не подходит из-за сложности аналитического вычисления интеграла в выражении для  $E(x, y)$ .

Для различных значений волнового параметра  $p$  можно использовать разные *приближения значения  $R$* . Если предположить, что поправка  $\frac{(x-\xi)^2}{z} + \frac{(y-\eta)^2}{z}$  под знаком радикала мала по сравнению с 1, можем воспользоваться формулой Тейлора, при этом оставим только два члена разложения в ряд. Такое приближение называется *френелевским*:

$$R_{\text{Френель}} \approx z + \frac{(x - \xi)^2}{2z} + \frac{(y - \eta)^2}{2z}.$$

Предположение  $\frac{(x-\xi)^2}{z} + \frac{(y-\eta)^2}{z} \ll 1$  соответствует  $\frac{\sqrt{z}}{\sqrt{b^2+x^2+y^2}} \equiv \frac{p}{\sqrt{\lambda}} \gg 1$ , что само по себе ничего не говорит о характере дифракционной картины. Но если дополнительно предположить, что ширина отверстия  $b \sim \sqrt{\lambda z}$  и мы рассматриваем изображение на небольшом расстоянии от оси  $z$ , т.е.  $\sqrt{x^2 + y^2} \sim b$ , то  $p \sim 1$  и мы имеем дело с *дифракцией Френеля*. Принцип Гюйгенса-Френеля для этого случая будет иметь вид:

$$E(x, y) = \frac{e^{ikz}}{i\lambda z} \iint E_0(\xi, \eta) e^{i\frac{k}{2z}[(x-\xi)^2 + (y-\eta)^2]} d\xi d\eta$$

Рассмотрим теперь приближение, всегда справедливое для дальней волновой зоны.

$$R = \sqrt{z^2 + (x - \xi)^2 + (y - \eta)^2} = \sqrt{R_0 - (2x\xi + 2y\eta) + (\xi^2 + \eta^2)}$$

Предположим, что поправка к  $R_0$  под знаком радикала мала, получим приближение:

$$R \approx R_0 - \frac{x\xi + y\eta}{R_0} - \frac{\xi^2 + \eta^2}{R_0}.$$

Теперь допустим, что выполняется *условие Фраунгофера*:

$$\frac{\xi^2 + \eta^2}{R_0} \leq \frac{b^2}{R_0} \ll \lambda \Leftrightarrow \frac{\lambda z}{b^2} \gg 1 \Leftrightarrow p \gg 1.$$

Тогда последним слагаемым в  $R$  можно пренебречь:

$$R_{\text{Фраунгофера}} \approx R_0 - \frac{x\xi}{R_0} - \frac{y\eta}{R_0}.$$

Принцип Гюйгенса-Френеля для дифракции Фраунгофера запишется в виде:

$$E(x, y) = \frac{e^{ikR_0}}{i\lambda R_0} \iint E_0(\xi, \eta) e^{-i\frac{k}{R_0}(x\xi + y\eta)} d\xi d\eta.$$

Введя переменные  $u, v$ , получим:

$$u = \frac{kx}{R_0}, \quad v = \frac{ky}{R_0},$$

$$E(u, v) = \frac{e^{ikR_0}}{i\lambda R_0} \iint E_0(\xi, \eta) e^{-i(u\xi + v\eta)} d\xi d\eta.$$

Эта формула показывает, что поле в плоскости наблюдения  $E(u, v)$  есть (с точностью до постоянного множителя) двумерное преобразование Фурье граничного поля  $E_0(\xi, \eta)$ .

#### 1.4. Одномерный случай дифракции Фраунгофера

Формула, полученная выше для  $E(u, v)$  становится особенно наглядной, если граничное поле  $E_0(\xi, \eta)$  описывается функцией одной переменной  $\xi$ :  $E_0(\xi, \eta) \equiv E_0(\xi)$ . Тогда с точностью до несущественного постоянного множителя

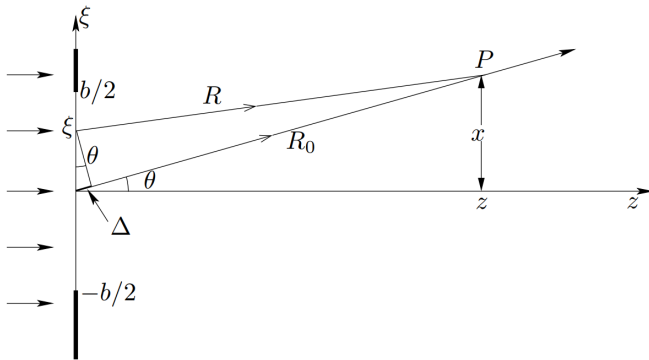


Рисунок 3. Одномерный случай дифракции Фраунгофера

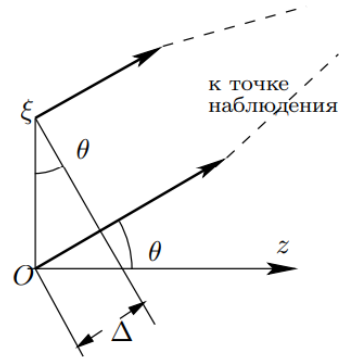


Рисунок 4. Разность хода

$$E(u) \propto \int_{-\infty}^{+\infty} E_0(\xi) e^{-iu\xi} d\xi$$

Таким образом, в данном случае картина дифракции Фраунгофера  $E(u)$  представляет собой преобразование Фурье граничного поля  $E_0(\xi)$ .

Определим разность хода волн  $\Delta$ , приходящих к удалённой точке наблюдения от двух вторичных источников, один из которых находится в точке с координатой  $\xi$ , а второй – в точке  $\xi = 0$  (рис. 3). Удалённость точки Р позволяет считать направления волн, идущих из этих точек практически параллельными (рис. 4), следовательно, разность их хода  $\Delta$  равна:

$$\Delta = \xi \sin \theta,$$

где  $\theta$  – направление на удалённую точку наблюдения, имеющую координату  $x$ . Соответственно, разность фаз колебаний  $\varphi$  равна:

$$\varphi = -k\xi \sin \theta = -k\xi \frac{x}{R_0} = -u\xi.$$

Таким образом,  $E = E(\theta)$ , то есть дифракционная картина в общем зависит от направления на точку наблюдения  $\theta$ , а не от расстояния  $x$ .

$$E(\theta) \propto \int_{-\infty}^{+\infty} E_0(\xi) e^{-ik \sin \theta \xi} d\xi$$

Полученные формулы для  $E(u)$ ,  $E(\theta)$  полностью аналогичны соотношению

$$C(\omega) = \int f_0(t) e^{-i\omega t} dt$$

где  $C(\omega)$  – спектр (преобразование Фурье) процесса  $f_0(t)$ . Эта аналогия позволяет назвать величину  $u = k \sin \theta$  *пространственной частотой* – аналог частоты  $\omega$  в спектре  $f_0(t)$ .

Ещё раз подчеркнём, что положение точки наблюдения Р при условии  $b \ll \sqrt{\lambda z}$  определяется углом  $\theta$ . Если точка наблюдения смещается вдоль фиксированного направления, приближаясь или удаляясь, так что угол  $\theta$  остаётся неизменным:  $\sin \theta = x/z = \text{const}$  (и при этом остаётся



справедливо неравенство  $b \ll \sqrt{\lambda z}$ , то значение интеграла остаётся неизменным. В этом случае картину дифракции можно характеризовать распределением интенсивности света (потока энергии) по углам  $I(\theta)$ :

$$I(\theta) \propto |E(\theta)|^2 \propto \left| \int E_0(\xi) e^{-ik \sin \theta \xi} d\xi \right|^2.$$

Распределение  $I(\theta)$ , заданное в полярных координатах, называют *диаграммой направленности* дифракционной картины.

## 2. Дифракция Фраунгофера на щели

### 2.1. Расчёт дифракционной картины

Пусть щель шириной  $b$  освещается слева плоской нормально падающей волной. Граничное поле  $E_0(x)$  имеет вид, изображённый на [рисунке 5](#). Согласно полученной выше формуле для  $E(\theta)$ , для нахождения картины фраунгоферовой дифракции необходимо найти преобразование Фурье этой функции (эта задача полностью аналогична нахождению спектра прямоугольного импульса – роль длительности импульса здесь играет ширина щели  $b$ , а роль частоты – пространственная частота  $u = k \sin \theta$ ). Мы получаем

$$E(\theta) \propto \int_{-b/2}^{+b/2} e^{-ikx \sin \theta} dx \propto \frac{\sin\left(\frac{kb}{2} \sin \theta\right)}{\frac{kb}{2} \sin \theta}$$

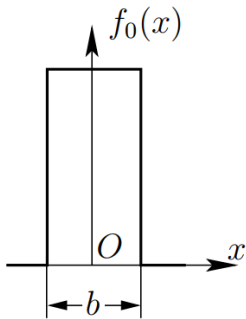


Рисунок 5. Поле на щели

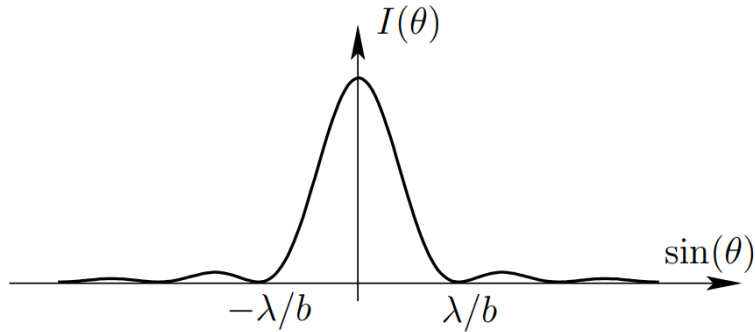


Рисунок 6. Диаграмма направленности  $I(\theta)$  при дифракции Фраунгофера на одной щели

Распределение интенсивности  $I(\theta) \propto |E(\theta)|^2$  показано на [рисунке 6](#). Ближайшие к направлению  $\theta = 0$  направления, в которых  $I(\theta)$  обращается в нуль, определяются условием  $\frac{kb}{2} \sin \theta = \pm\pi$ , откуда находим

$$\sin \theta \equiv \frac{x}{R_0} = \pm \frac{\lambda}{b}$$

Как показывает анализ функции  $|I(\theta)|^2$ , в угловом конусе  $|\sin \theta| \leq \lambda/b$  сосредоточена подавляющая величина потока энергии. Этот угловой конус (интервал углов от  $-\lambda/b$  до  $\lambda/b$ ) называют *главным максимумом* дифракционной картины.

## 2.2. Наблюдение дифракции света зелёного лазера на щели

Прежде всего мы при помощи *стеклянных фильтров*, отсекающих лишнюю интенсивность, приходящуюся на главный максимум, убедились, что диаграмма направленности излучения  $I(\theta)$  по внешнему виду совпадает с ожидаемой (ожидаем увидеть картину, аналогичную [рис. 6](#)).

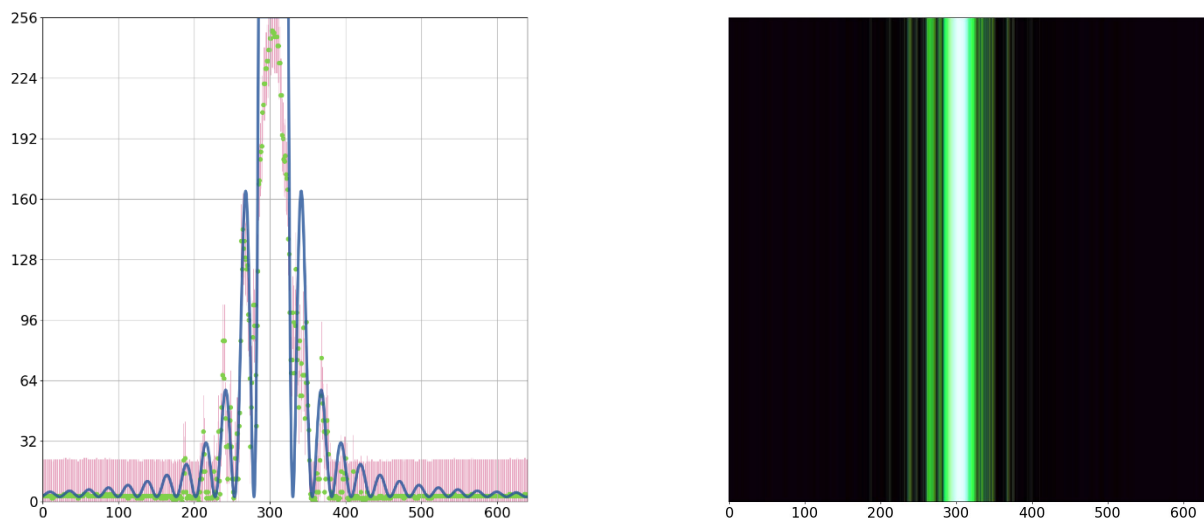


Рисунок 7. Диаграмма направленности ослабленного фильтром света

Как видно по графику, использование светофильтров для последующих наблюдений неоправданно, так как они, хотя и позволяют с большей детализацией зафиксировать второй и последу-

ющие максимумы, но также сильно рассеивают свет, в результате чего картина дифракции получается сильно зашумлённой и непригодной для детального анализа.

Мы произвели *серию наблюдений дифракции*, регистрируя интерференционную картину при помощи *цифровой камеры*. В серии мы варьировали параметр  $R_0$  – расстояние между экраном с щелью и матрицей камеры. Дифрагирующий на щели свет лазерного источника считаем приближенно монохроматическим, когерентным; волновой фронт – плоским. Щель была расположена вертикально, следовательно развёртку интерференционной картины мы регистрировали в горизонтальной плоскости. Существенные параметры оборудования отмечены ниже:

Прибор	Характеристика	Величина
Цифровая окулярная камера <b>ToupCam SCMOS00350KPA</b>	Размер пикселя	5,6 мкм
	Отношение сигнал/шум	45 дБ
	Горизонтальное разрешение	640
	Разрядность датчика	256
	Рабочий спектральный диапазон	380-560 нм
Зелёный лазерный модуль <b>KLM-A532-1-5</b>	Длина волны излучения	532 нм
	Апертурный диаметр пучка	8 мм

*Таблица 1. Характеристики оборудования при наблюдении дифракции на щели*

В результате опыта мы получили несколько (20) массивов цифровых данных, отражающих горизонтальное распределение яркости  $I$  на матрице камеры. При этом абсолютная величина интенсивности света  $I$  нас не интересует, важен лишь характер распределения  $I$  вдоль оси наблюдения. Непосредственно в опыте измерялась зависимость *относительной интенсивности*  $I^2$  от порядкового номера пикселя матрицы, регистрирующего соответствующую интенсивность,  $p$ .

---

<sup>2</sup> Интенсивность  $I$ , в отличие от  $I$ , не измеряется в абсолютных единицах. Это некоторая безразмерная величина в диапазоне  $[0, 255]$ , причём в результате автоматической настройки экспозиции камеры, нормировка этой величины разная в каждом отдельном наблюдении. Имеет смысл лишь характер распределения  $I(x) \propto I(x)$ .

### 2.3. Определение ширины щели $b$

Используя выражение, полученное выше для распределения  $E(\theta)$  при дифракции Фраунгофера на щели, получим в явном виде зависимость  $\mathcal{I}(p)$ :

$$\mathcal{I}(\theta) \propto I(\theta) \propto |E(\theta)|^2 \propto \left( \frac{\sin\left(\frac{kb}{2} \sin \theta\right)}{\frac{kb}{2} \sin \theta} \right)^2$$
$$\sin \theta \equiv \frac{x}{R_0} = \frac{(p - p_0)\delta}{R_0}, \quad k = \frac{2\pi}{\lambda}, \quad R_0 = z_0 + z_i$$
$$\mathcal{I}(p) = \mathcal{I}_0 \left( \frac{\sin\left(\frac{b\pi}{\lambda} \frac{(p - p_0)\delta}{z_0 + z_i}\right)}{\frac{b\pi}{\lambda} \frac{(p - p_0)\delta}{z_0 + z_i}} \right)^2 + \mathcal{I}_n$$

- $\delta$  [м] – пространственное горизонтальное разрешение датчика;
- $\lambda$  [м] – длина волны света;
- $z_0$  [м] – расстояние между матрицей и экраном в нуле координат;
- $z_i$  [м] – смещение камеры от начала координат вдоль оси  $z$  в измерении  $i$ ;
- $\mathcal{I}_0$  – максимальная яркость при текущей экспозиции;
- $\mathcal{I}_n$  – яркость фоновых источников, рассеянного в объективе света;
- $p_0$  – порядковый номер пикселя, являющегося центром интерференционной картины;
- $b$  [м] – ширина щели в экране.

Параметры  $\delta, \lambda, z_0, z_i, i \in \{1, 2, \dots, 20\}$  полагаем известными (все величины даны в мм):

$$\delta = 5,6 \cdot 10^{-3}, \quad \lambda = 5,32 \cdot 10^{-4}, \quad z_0 = 56, \quad z_i \in \{20, 40, 60, \dots, 400\}$$

Параметры  $\mathcal{I}_0, \mathcal{I}_n, p_0, b$  подлежат определению. Параметр  $b$  представляет для нас особый интерес, так как представляет собой измеримую прямыми методами физическую величину. Во всех

20 наблюдениях ширина щели оставалось постоянной величиной, поэтому ожидаем, что параметр  $b_i$  должен совпасть для всех  $J_i = J(p, z_i)$  в некоторых пределах погрешности.

Прежде чем приступить к оценке  $J_0, J_n, p_0, b$  необходимо преодолеть проблему, связанную с регулярной *засветкой матрицы* в области главного максимума дифракционной картины. Как упоминалось ранее (см. [рисунок 6](#)), в окрестности главного максимума дифракционной картины сосредоточена основная величина потока энергии, падающего на матрицу. Во втором максимуме интенсивность составляет лишь 4,7% от интенсивности главного максимума, в третьем 1,6% и так далее. Это создаёт проблему, так как при автоматической настройке экспозиции камера стремится подобрать яркость таким образом, чтобы второй и последующие максимумы были хорошо различимы, в результате чего в окрестности главного максимума формируется область из некорректных, заниженных, значений  $J$ . Для исключения влияния этого дефекта в данных, мы искусственно «экранируем» область главного максимума, где значение датчика превышает пороговое значение  $J_t = 210^3$ , обнулив значения эксперимента и предсказывающую его функцию  $J(p)$  в этом диапазоне. Если же значение  $J_t$  превышено в других максимумах функции, положим в их окрестностях  $J(p) = J_t$ . Иными словами, мы переопределим функцию  $J(p)$  таким образом:

$$J(p) = \begin{cases} J(p), & \text{если } J(p) \leq J_t; \\ 0, & \text{если } J(p) > J_t, \quad p \in \{\text{главный максимум}\}; \\ J_t, & \text{если } J(p) > J_t, \quad p \notin \{\text{главный максимум}\}. \end{cases}$$

Определим параметры  $J_0, J_n, p_0, b$  с помощью методов числовой оптимизации, задав диапазоны значений и приблизительные оценки параметров для каждого наблюдения, функции  $J(p)$  и  $\text{grad } J(p)$ . При помощи модуля `scipy.optimize` минимизируем семейство функций потерь  $L_i$ .

$$L_i = \frac{1}{2} \left( J(p, z_i) - J_{\text{exp}}(p, z_i) \right)^2,$$

где  $p = (1, 2, 3, \dots, 640)$ ,  $J_{\text{exp}}(p, z_i)$  – массив экспериментальных данных.

В результате оптимизации мы получили семейство функций  $J_i(p)$  и соответствующие им параметры  $J_{0i}, J_{ni}, p_{0i}, b_i$ . Изобразим их графически, учтя цифровой шум.

---

<sup>3</sup> Значение выбрано таким образом, чтобы отсекал наибольшее число неправдоподобных точек.



Рисунок 8. Графики функций  $J_i(r)$  для каждого наблюдения.

Значения  $b_i$ , как и ожидалось, лежат в узком диапазоне ( $\pm 3\%$ ). Наконец, можем дать оценку  $b$ :

$$b = \frac{1}{20} \sum_{i=1}^{20} b_i = (191 \pm 3) \text{ мкм.}$$

### 3. Дифракция Фраунгофера на двух щелях

#### 3.1. Расчёт дифракционной картины

Пусть рядом со щелью шириной  $b$  расположена параллельно ещё одна щель равной ширины на расстоянии  $d$  от первой (рисунок 9). Поле первой щели в точке наблюдения  $P$ , как мы выяснили выше, описывается функцией

$$E_1(\theta) \propto \frac{\sin\left(\frac{kb}{2} \sin \theta\right)}{\frac{kb}{2} \sin \theta}.$$

Расстояние от второй щели до точки наблюдения на величину  $\Delta = d \sin \theta$  меньше расстояния между первой щелью и этой точкой. Соответствующая волне от второй щели фаза колебания в  $P$  отличается на величину

$$\alpha = -k\Delta = -kd \sin \theta.$$

Поэтому амплитуда волны, созданной второй щелью в точке наблюдения, описывается функцией  $E_2(\theta) = E_1(\theta)e^{i\alpha}$ . Волны, посылаемые в точку наблюдения двумя щелями, интерферируют. Амплитуда суммарного колебательного процесса в точке наблюдения есть

$$E(\theta) = E_1(\theta) + E_2(\theta) = E_1(\theta) \cdot [1 + e^{i\alpha}] = 2E_1(\theta) \cos(\alpha/2) e^{i\frac{\alpha}{2}},$$

а интенсивность, соответственно

$$I(\theta) \propto |E(\theta)|^2 = 4|E_1(\theta)|^2 \cos^2(\alpha/2) \propto \left( \frac{\sin\left(\frac{kb}{2} \sin \theta\right)}{\frac{kb}{2} \sin \theta} \right)^2 \cdot \cos^2\left(\frac{kd}{2} \sin \theta\right).$$

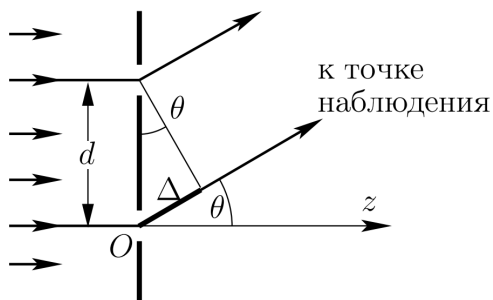


Рисунок 9. Разность хода при дифракции на двух щелях

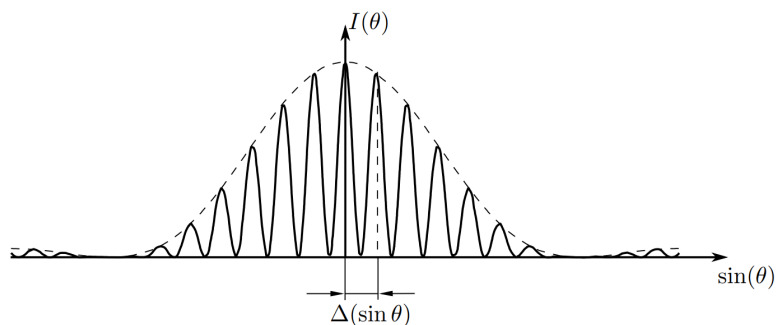


Рисунок 10. Диаграмма направленности  $I(\theta)$  при дифракции Фраунгофера на двух щелях

Расстояние между максимумами  $\Delta(\sin \theta)$  находим из условия  $kd \sin \theta = 2\pi$ , откуда

$$\Delta(\sin \theta) = \lambda/d.$$

### 3.2. Наблюдение дифракции света красного лазера на двух щелях

Мы наблюдали дифракцию света красного лазера с длиной волны 632,8 нм на двух различных экранах с различными же параметрами  $b_{1,2}$  и  $d_{1,2}$ . Для наблюдения экрана с бóльшим расстоянием между щелями  $d$  было выбрано заведомо большое расстояние  $R_0 \sim 10^3$  мм, так как угловое расстояние между максимумами обратно пропорционально  $d$ .

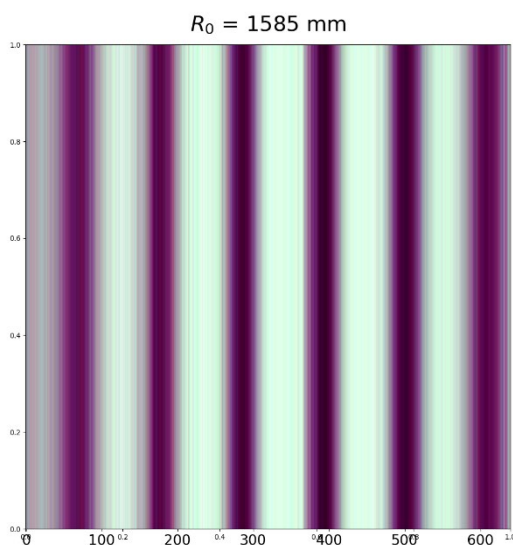


Рисунок 11. Дифракционная картина от экрана с широкими щелями ( $b_1, d_1$ ) (виден только главный максимум компоненты  $\propto |E_1(\theta)|^2$ )

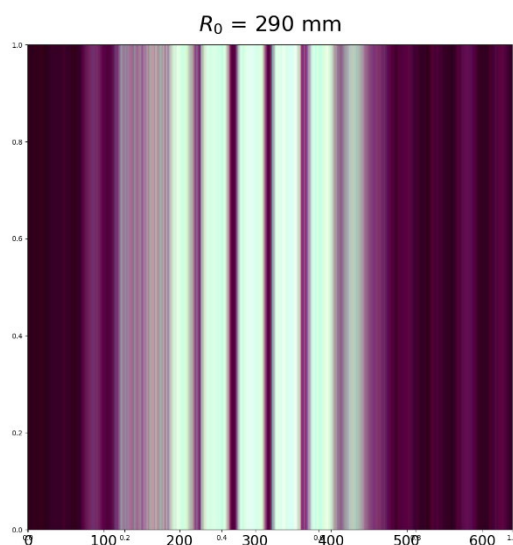


Рисунок 12. Дифракционная картина от экрана с узкими щелями ( $b_2, d_2$ ) (виден первый вторичный тах компоненты  $\propto |E_1(\theta)|^2$ )



### 3.3. Определение параметров двухщелевого экрана $d$ и $b$

Используя выражение, полученное выше для распределения  $I(\theta)$  при дифракции Фраунгофера на двух щелях, получим в явном виде зависимость относительной интенсивности  $\mathcal{I}(p)$ :

$$\mathcal{I}(\theta) \propto I(\theta) \propto \left( \frac{\sin\left(\frac{kb}{2} \sin \theta\right)}{\frac{kb}{2} \sin \theta} \right)^2 \cdot \cos^2\left(\frac{kd}{2} \sin \theta\right)$$

$$\sin \theta \equiv \frac{x}{R_0} = \frac{(p - p_0)\delta}{R_0}, \quad k = \frac{2\pi}{\lambda}, \quad R_0 = z_0 + z_i$$

$$\mathcal{I}(p) = \mathcal{I}_0 \left( \frac{\sin\left(\frac{b\pi}{\lambda} \frac{(p - p_0)\delta}{z_0 + z_i}\right)}{\frac{b\pi}{\lambda} \frac{(p - p_0)\delta}{z_0 + z_i}} \right)^2 \cdot \cos^2\left(\frac{d\pi}{\lambda} \frac{(p - p_0)\delta}{z_0 + z_i}\right) + \mathcal{I}_n$$

Параметры  $\delta$ ,  $\lambda$ ,  $z_0$ ,  $z_i$ ,  $i \in \{1, 2\}$ ,  $\mathcal{I}_0$ ,  $\mathcal{I}_n$ ,  $p_0$ ,  $b$  носят тот же смысл, что и ранее в случае с дифракцией на одной щели. Параметр  $d_i$  входит в число параметров оптимизации функций ошибок  $L_i$ . Параметр  $b_i$ , в отличие от дифракции на щели, различный для функций  $\mathcal{I}_{1,2}$ .

Для минимизации ущерба модели от засветки матрицы (подробнее см [пункт 2.3](#)) исключим из рассмотрения оптимизатора промежутки, на которых значение функции  $\mathcal{I}(p) > \mathcal{I}_t$ .

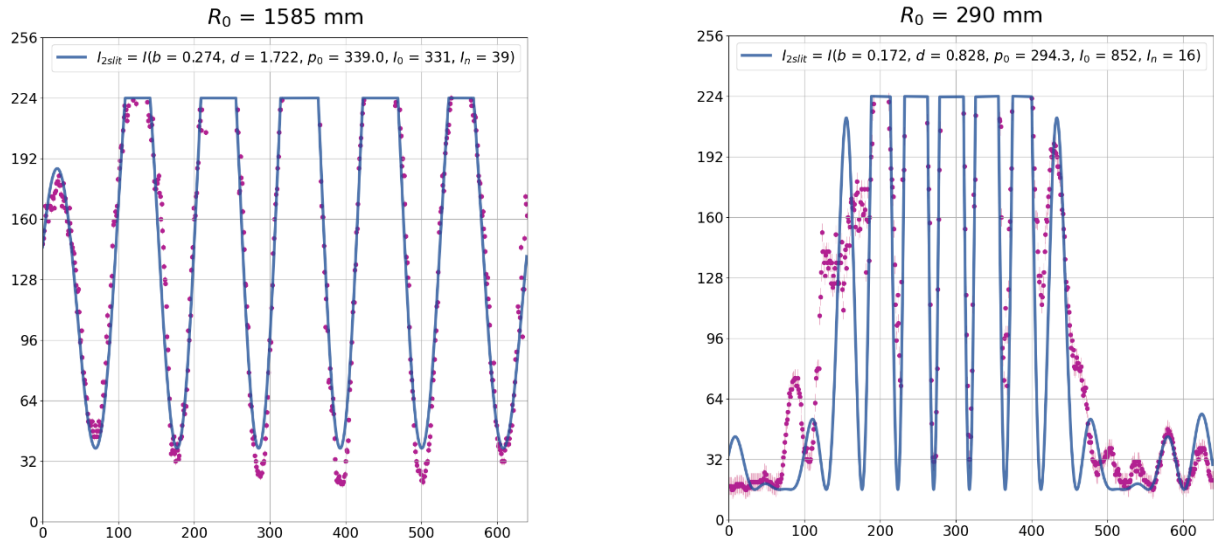


Рисунок 13. Оптимизированные функции  $\mathcal{I}_{1,2}(p, z_{1,2})$